

砂の塑性仕事～表面積関係について

山口大学 工学部
同 大学院

正員 三浦 哲彦
学生員 ○安福 規元

1. まえがき

これまでの研究により、三軸圧縮応力下の粒子破碎量は試料に与された塑性仕事と密接な関係にあることがわかつている。すなわち、粒子破碎量を試料表面積の増加 ΔS で表わすと、これと塑性仕事 W との関係は拘束圧の大きさに依らず一本のユニークな曲線で表わせることができるのである。もし、この関係が三軸圧縮応力下以外の場合にも成立ならば、砂のせん断特性に及ぼす粒子破碎の影響を調べる上で都合がよい。そこで、この関係の普遍性を調べるために、拘束一軸圧縮試験によって $S \sim W$ 関係を調べ、この結果を高压三軸圧縮試験における $S \sim W$ 関係と比較検討した。

2 拘束一軸圧縮試験

2.1 試料及び実験方法 実験試料として、210～149μmに粒度調整した豊浦砂を用いた。おもな性質は、土粒子比重2.638、均等係数1.33、50%粒径0.22mmである。この試料30.0gを試験容器七つめ、図1に示すようにして拘束一軸圧縮試験を行った。

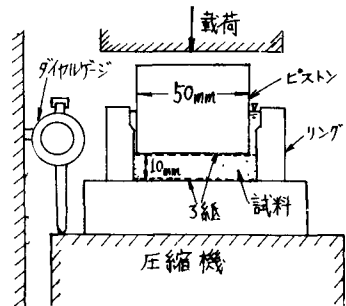


図1 拘束一軸圧縮試験

2.2 表面積の測定 粒子破碎量を数値で表わすために、試料の表面積 S (m²/g)の増加 ΔS を用いた。 S の値は、まず比表面積 S_w (m²/g)を測定し、この値に供試体の乾燥密度 γ_d (g/cm³)をかけて求めた。 S_w の値は、炉乾燥した試料を一組(177, 149, 105, 及び74μm)のふるいごとに分け、このうち74μm以上の試料について各粒径ごとにその平均粒径の粒子を球形とみなして比表面積を計算し、一方74μm以下の試料についてはブレーン装置を用いて比表面積を測定した。

2.3 供試体に与えた仕事 図2は載荷応力 p_c と軸ひずみ ϵ の関係の一例を示している。ここで粒子破碎寸不可逆的現象があるので、仕事としては塑性仕事 W を用いた。上に述べた方法により、試料の含水条件及び飽和液の種類をかえて $S \sim p_c$ 関係及び $S \sim W$ 関係を調べ、図3及び図4の結果を得た。

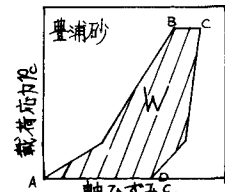


図2 塑性仕事の求め方

図3から、水分子吸着の量が多いほど表面積(粒子破碎量)が多くなることわかる。これは、水分子がクラックに侵入してへき面を容易にしれり、水分子吸着によるクラック壁面の表面エネルギーが低下するためと考えられる。¹⁾

次に、図4から含水状態や飽和液の違いによらず $S \sim W$ 関係は1本の曲線となり、粒子破碎量と塑性仕事の間にユニークな関係があることがわかる。

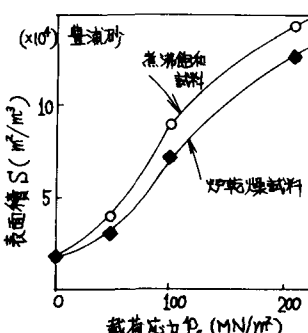


図3. $S \sim p_c$ 関係

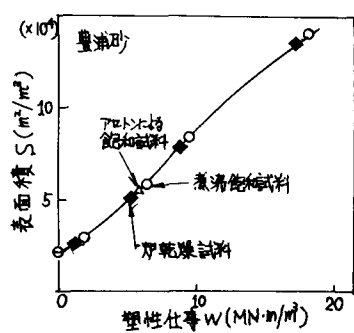


図4 拘束一軸圧縮試験における $S \sim W$ 関係

3 三軸圧縮試験

3.1 試料及び実験方法 豊浦砂を用

い、初期間隙比0.60～0.61の飽和度が供試体を作りて実験に供した。

試験方法は、ある拘束圧(10～50MN/m²)のもとで等方圧密した後、側圧一定、排水条件によらずせん断試験を行った。

3.2 表面積の測定 排水せん断中の軸ひずみの大きさが所定の値に達したら試験を停止して、その試料の表面積を測定するという方法をとり、せん断中の軸ひずみの進行に伴う粒子破碎の推移を調べた。

表面積の測定は、2.2で示した方法を行った。

3.3 塑性仕事 有効主応力 σ' , $\sigma'_e = \sigma'$, 主ひずみ増分 $\delta\epsilon$, $\delta\epsilon_e = \delta\epsilon_e$ 及び体積ひずみ増分 δV を用いると、全エネルギー変化 $\delta E'$ は次式で表わされる。

$$\begin{aligned}\delta E' &= \sigma'_e \delta\epsilon + 2\sigma'_e \delta\epsilon_e \\ &= (\sigma'_e - \sigma'_e) (\delta\epsilon_e - \frac{\delta V}{3}) + (\frac{\sigma'_e + 2\sigma'_e}{3}) \delta V \\ &= q \delta\epsilon + p \delta V\end{aligned}\quad \text{--- (1)}$$

ここに q 軸差応力, p 平均有効主応力

塑性仕事は、可逆的せん断ひずみ増分 $\delta\epsilon_e$ を無視すると次式で表わせる。

$$W = \int q \delta\epsilon + \int p \delta V - \int p \delta V_e \quad \text{--- (2)}$$

ただし 添字eは可逆的成分を示す。

実際に、せん断試験で得た $q \sim \epsilon$ 曲線及び $p \sim V$ 曲線を描き、これらの曲線で囲まれた面積を測ることによって全塑性仕事 W を求めた。(図5)。

4. 考察

上述の方法によって求めた $S \sim W$ 曲線を図6に示す。この図から、 $S \sim W$ 曲線は破壊に至るまで拘束圧の大きさに無関係に1本の曲線で表わせることができかる。²⁾³⁾ この曲線を拘束一軸圧縮試験による $S \sim W$ 曲線と比較すると次のことがわかる。

両曲線とも塑性仕事が大きくなると勾配が次第に小さくなるという共通の特性を示していく。これは粒子破碎に限界があることを示唆するものである。

また、拘束一軸圧縮試験における粒子破碎量は、三軸圧縮試験における粒子破碎量に比べて少ない。これは、前者においては壁面摩擦の影響が出ていためと思われる。

5. まとめ

以上のように、拘束一軸圧縮試験、及び三軸圧縮試験で得られた $S \sim W$ 曲線は、試料条件あるいは拘束圧の大きさによらずそれぞれユニークな曲線で表わせることができた。2本の $S \sim W$ 曲線が一致しなかつたのは、拘束一軸圧縮試験における試料と側壁の摩擦に原因があると考えられ、今後この点について検討したい。

参考文献

1) 久保輝一郎、メカノケミストリー概論、東京化成同人

2) 三浦哲彦、山内豊聰：砂のせん断特性に及ぼす粒子破碎の影響、土木学会論文報告集、第260号、1977年

3) 三浦哲彦、山内豊聰、上山邦彦：高圧三軸応力下における粒状材料の粒子破碎について、「材料」、第26巻、第288号

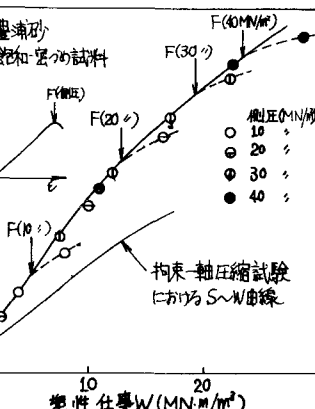
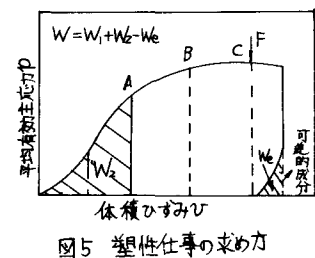
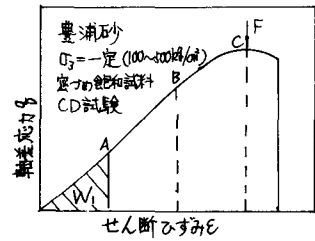


図6. 2種類のS-W曲線の比較